

## 概述

MAX14842能够在两个参考地电位相差最高72V的电路之间进行数字信号转换。器件集成了六个传输通道：两个双向通道和四个单向通道。四个单向通道在每个方向分别提供两个通道。器件由两路电源供电，分别定义相对于各自地平面的逻辑电平。

MAX14842的四个单向通道可支持高达30Mbps的数据速率，两个双向通道支持2Mbps的数据速率。双向通道提供开漏输出，适用于I<sup>2</sup>C信号。双向通道支持I<sup>2</sup>C时钟扩展和热插拔。

欠压锁定确保在上电、断电及电源变化时，输出引脚具有确定动作。必须保证 $0V \leq (V_{GNDB} - V_{GNDA}) \leq 72V$ ，使器件保持正常工作。注意，GNDB必须大于或等于GNDA。MAX14842采用16引脚TQFN封装，工作在-40°C至+125°C汽车级温度范围。

## 定购信息

PART	TEMP RANGE	PIN-PACKAGE
MAX14842ATE+	-40°C to +125°C	16 TQFN-EP*

\*\*EP = 裸焊盘。

+表示无铅(Pb)/符合RoHS标准的封装。

## 特性

- ◆ 允许高达72V的地电位差
- ◆ 四路单向通道：两路输入/两路输出
- ◆ 两路双向通道
- ◆ I<sup>2</sup>C兼容
- ◆ 支持I<sup>2</sup>C时钟扩展
- ◆ 30Mbps单向通道数据速率
- ◆ 2Mbps双向通道数据速率
- ◆ +3.3V至+5V电平转换
- ◆ 欠压锁定
- ◆ 4mm x 4mm、16引脚TQFN封装
- ◆ -40°C至+125°C汽车级温度范围

## 应用

电信系统

电池管理

I<sup>2</sup>C、SMBus<sup>TM</sup>、SPI<sup>TM</sup>以及MICROWIRE<sup>TM</sup>信号

医疗系统

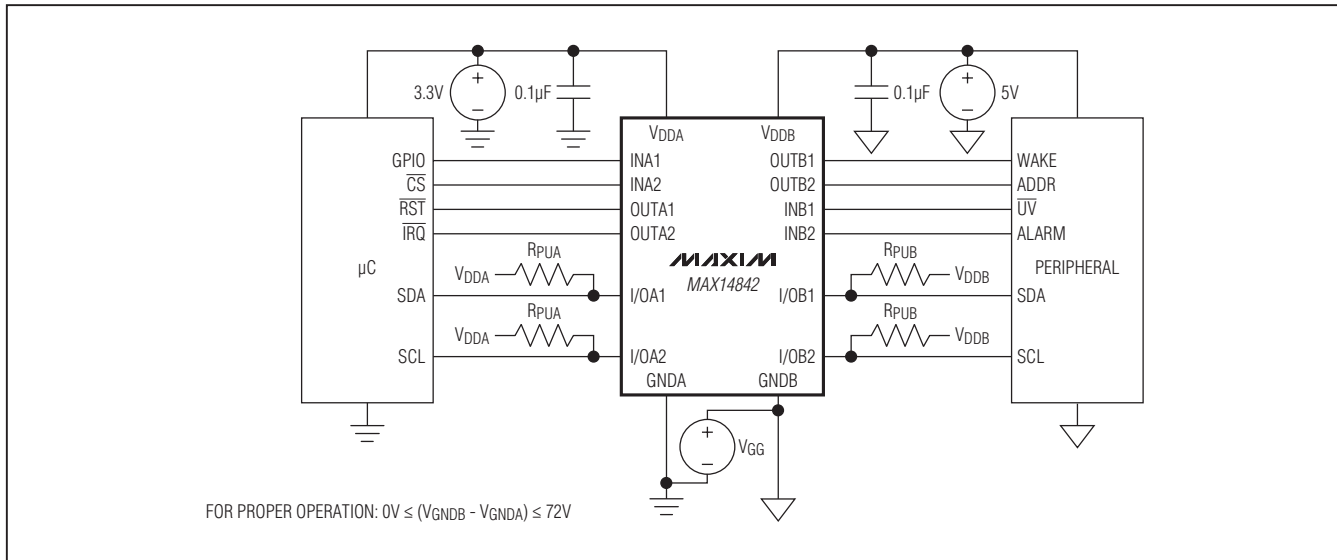
以太网供电

SMBus是Intel Corp.的商标。

SPI是Motorola, Inc.的商标。

MICROWIRE是National Semiconductor Corp.的商标。

## 典型工作电路



# 6通道数字电平转换器

## ABSOLUTE MAXIMUM RATINGS

VDDA to GNDA .....	-0.3V to +6V
VDBB to GNDB .....	-0.3V to +6V
GNDB to GNDA .....	-0.3V to +80V
INA1, INA2 to GNDA .....	-0.3V to (VDDA + 0.3V)
INB1, INB2 to GNDB .....	-0.3V to (VDBB + 0.3V)
OUTA1, OUTA2 to GNDA .....	-0.3V to (VDDA + 0.3V)
OUTB1, OUTB2 to GNDB .....	-0.3V to (VDBB + 0.3V)
I/OA1, I/OA2 to GNDA .....	-0.3V to +6V
I/OB1, I/OB2 to GNDB .....	-0.3V to +6V
Common-Mode Transients (i.e., Transients Between GNDA and GNDB) .....	10V/ $\mu$ s

Short-Circuit Duration (OUTA1, OUTA2 to GNDA; OUTB1, OUTB2 to GNDB) .....	Continuous
Continuous Power Dissipation ( $T_A = +70^\circ\text{C}$ ) .....	
TQFN (derate 25mW/ $^\circ\text{C}$ above $+70^\circ\text{C}$ ) .....	2000mW
Operating Temperature Range .....	-40°C to +125°C
Junction Temperature .....	+150°C
Storage Temperature Range .....	-65°C to +150°C
Lead Temperature (soldering, 10s) .....	+300°C
Soldering Temperature (reflow) .....	+260°C

## PACKAGE THERMAL CHARACTERISTICS (Note 1)

### TQFN

Junction-to-Ambient Thermal Characteristics ( $\theta_{JA}$ ) ....  $40^\circ\text{C}/\text{W}$   
 Junction-to-Case Thermal Characteristics ( $\theta_{JC}$ ) ....  $6^\circ\text{C}/\text{W}$

**Note 1:** Package thermal resistances were obtained using the method described in JEDEC specification JESD51-7, using a four-layer board. For detailed information on package thermal considerations, refer to [china.maxim-ic.com/thermal-tutorial](http://china.maxim-ic.com/thermal-tutorial).

*Stresses beyond those listed under "Absolute Maximum Ratings" may cause permanent damage to the device. These are stress ratings only, and functional operation of the device at these or any other conditions beyond those indicated in the operational sections of the specifications is not implied. Exposure to absolute maximum rating conditions for extended periods may affect device reliability.*

## ELECTRICAL CHARACTERISTICS

( $VDDA - VGNDA = +3.0\text{V}$  to  $+5.5\text{V}$ ,  $VDBB - VGNDB = +3.0\text{V}$  to  $+5.5\text{V}$ ,  $VGNDB - VGNDA = 0$  to  $+72\text{V}$ ,  $T_A = -40^\circ\text{C}$  to  $+125^\circ\text{C}$ , unless otherwise noted. Typical values are at  $VDDA - VGNDA = +3.3\text{V}$ ,  $VDBB - VGNDB = +3.3\text{V}$ ,  $VGNDB - VGNDA = +50\text{V}$ ,  $T_A = +25^\circ\text{C}$ .) (Note 2)

PARAMETER	SYMBOL	CONDITIONS	MIN	TYP	MAX	UNIT
<b>DC CHARACTERISTICS</b>						
Supply Voltage	VDDA	Relative to GNDA	3.0	5.5		V
	VDBB	Relative to GNDB	3.0	5.5		
Supply Current	IDDA IDDB	$VDDA - VGNDA = +5.5\text{V}$ ; $VDBB - VGNDB = +5.5\text{V}$ ; $VGNDB - VGNDA = +70\text{V}$ ; all inputs at $VGNDA$ , $VGNDB$ , or $+5.5\text{V}$ ; no load		7.5		mA
Voltage Between GNDB and GNDA	VGG	$VGNDB - VGNDA$	0	72		V
Side B Leakage Current	I <sub>L</sub>			1		mA
Undervoltage-Lockout Threshold	VUVLO	$VDDA - VGNDA$ , $VDBB - VGNDB$		2		V
Undervoltage-Lockout Hysteresis	VUVLOHYS	$VDDA - VGNDA$ , $VDBB - VGNDB$		0.1		V
<b>LOGIC INPUTS AND OUTPUTS</b>						
Input Logic Threshold Voltage	VIT	I/OA1, I/OA2, relative to GNDA	0.5	0.7		V
Input Logic-High Voltage	VIH	INA1, INA2, relative to GNDA	0.7 x $VDDA$			V
		INB1, INB2, relative to GNDB	0.7 x $VDBB$			
		I/OA1, I/OA2, relative to GNDA	0.7			
		I/OB1, I/OB2, relative to GNDB	0.7 x $VDBB$			

# 6通道数字电平转换器

MAX14842

## ELECTRICAL CHARACTERISTICS (continued)

( $V_{DDA} - V_{GNDA} = +3.0V$  to  $+5.5V$ ,  $V_{DDB} - V_{GNDB} = +3.0V$  to  $+5.5V$ ,  $V_{GNDB} - V_{GNDA} = 0$  to  $+72V$ ,  $TA = -40^{\circ}C$  to  $+125^{\circ}C$ , unless otherwise noted. Typical values are at  $V_{DDA} - V_{GNDA} = +3.3V$ ,  $V_{DDB} - V_{GNDB} = +3.3V$ ,  $V_{GNDB} - V_{GNDA} = +50V$ ,  $TA = +25^{\circ}C$ .) (Note 2)

PARAMETER	SYMBOL	CONDITIONS	MIN	TYP	MAX	UNIT
Input Logic-Low Voltage	V <sub>IL</sub>	INA1, INA2, relative to GNDA		0.8		V
		INB1, INB2, relative to GNDB		0.8		
		I/OA1, I/OA2, relative to GNDA		0.5		
		I/OB1, I/OB2, relative to GNDB		0.3 x $V_{DDB}$		
Output Logic-High Voltage	V <sub>OH</sub>	OUTA1, OUTA2, relative to GNDA, source current = 4mA	$V_{DDA} - 0.4V$			V
		OUTB1, OUTB2, relative to GNDB, source current = 4mA	$V_{DDB} - 0.4V$			
Output Logic-Low Voltage	V <sub>OL</sub>	OUTA1, OUTA2, relative to GNDA, sink current = 4mA		0.8		V
		OUTB1, OUTB2, relative to GNDB, sink current = 4mA		0.8		
		I/OA1, I/OA2, relative to GNDA, sink current = 10mA	0.6	0.9		
		I/OA1, I/OA2, relative to GNDA, sink current = 0.5mA	0.6	0.85		
		I/OB1, I/OB2, relative to GNDB, sink current = 30mA		0.4		
Input/Output Logic-Low Threshold Difference	ΔVTOL	I/OA1, I/OA2 (Note 3)	50			mV
Input Leakage Current	I <sub>L</sub>	V <sub>INA1</sub> , V <sub>INA2</sub> , $V_{DDA} = +3.6V$ , $V_{INB1}, V_{INB2}, V_{DDB} = +3.6V$	-2	+2		μA
		V <sub>I/OA1</sub> , V <sub>I/OA2</sub> , $V_{DDA} = +3.6V$ , $V_{I/OB1}, V_{I/OB2}, V_{DDB} = +3.6V$	-2	+2		
Input Capacitance	C <sub>IN</sub>	INA1, INA2, INB1, INB2, f = 1MHz (Note 4)	4			pF

## DYNAMIC SWITCHING CHARACTERISTICS

Maximum Data Rate	DRMAX	INA1 to OUTB1, INA2 to OUTB2, INB1 to OUTA1, INB2 to OUTA2	30		Mbps
		I/OA1 to I/OB1, I/OA2 to I/OB2, I/OB1 to I/OA1, I/OB2 to I/OA2	2		
Minimum Pulse Width	PWMIN	INA1 to OUTB1, INA2 to OUTB2, INB1 to OUTA1, INB2 to OUTA2	30		ns
Propagation Delay	t <sub>DPLH</sub> t <sub>DPHL</sub>	INA1 to OUTB1, INA2 to OUTB2, INB1 to OUTA1, INB2 to OUTA2, $V_{DDA} = V_{DDB} = +3.0V$ , $R_L = 1M\Omega$ , $C_L = 15pF$ , Figure 1	20	30	ns
	t <sub>DPLH</sub> t <sub>DPHL</sub>	I/OA1 to I/OB1, I/OA2 to I/OB2, $V_{DDA} = V_{DDB} = +3.0V$ , $R_1 = 1.6k\Omega$ , $R_2 = 180\Omega$ , $C_{L1} = C_{L2} = 15pF$ , Figure 2	30	100	
	t <sub>DPLH</sub> t <sub>DPHL</sub>	I/OB1 to I/OA1, I/OB2 to I/OA2, $V_{DDA} = V_{DDB} = +3.0V$ , $R_1 = 1k\Omega$ , $R_2 = 120\Omega$ , $C_{L1} = C_{L2} = 15pF$ , Figure 2	60	100	

# 6通道数字电平转换器

## ELECTRICAL CHARACTERISTICS (continued)

( $V_{DDA} - V_{GNDA} = +3.0V$  to  $+5.5V$ ,  $V_{DDB} - V_{GNDB} = +3.0V$  to  $+5.5V$ ,  $V_{GNDB} - V_{GNDA} = 0$  to  $+72V$ ,  $TA = -40^{\circ}C$  to  $+125^{\circ}C$ , unless otherwise noted. Typical values are at  $V_{DDA} - V_{GNDA} = +3.3V$ ,  $V_{DDB} - V_{GNDB} = +3.3V$ ,  $V_{GNDB} - V_{GNDA} = +50V$ ,  $TA = +25^{\circ}C$ .) (Note 2)

PARAMETER	SYMBOL	CONDITIONS	MIN	TYP	MAX	UNIT
Propagation Delay Skew $ t_{DPLH} - t_{DPHL} $	$t_{DSKEW}$	I/OA1 to I/OB1, I/OA2 to I/OB2, $V_{DDA} = V_{DDB} = +3.0V$ , $R_1 = 1.6k\Omega$ , $R_2 = 180\Omega$ , $C_{L1} = C_{L2} = 15pF$ , Figure 2		3	6	ns
		I/OB1 to I/OA1, I/OB2 to I/OA2, $V_{DDA} = V_{DDB} = +3.0V$ , $R_1 = 1k\Omega$ , $R_2 = 120\Omega$ , $C_{L1} = C_{L2} = 15pF$ , Figure 2		30	100	
Channel-to-Channel Skew	$t_{DSKEWCC}$	OUTB1 to OUTB2 output skew, Figure 1	3	6		ns
		OUTA1 to OUTA2 output skew, Figure 1	3	6		
		I/OB1 to I/OB2 output low skew, Figure 2	3	10		
		I/OA1 to I/OA2 output low skew, Figure 2	3	10		
Rise Time	$t_R$	OUTB1, OUTB2, OUTA1, OUTA2, 10% to 90%, Figure 1		5		ns
Fall Time	$t_F$	OUTB1, OUTB2, OUTA1, OUTA2, 90% to 10%, Figure 1		5		ns
		I/OA1, I/OA2, 90% to 10%, $V_{DDA} = V_{DDB} = +3.0V$ , $R_1 = 1.6k\Omega$ , $R_2 = 180\Omega$ , $C_{L1} = C_{L2} = 15pF$ , Figure 2		30	60	
		I/OB1, I/OB2, 90% to 10%, $V_{DDA} = V_{DDB} = +3.0V$ , $R_1 = 1k\Omega$ , $R_2 = 120\Omega$ , $C_{L1} = C_{L2} = 15pF$ , Figure 2		3	6	

**Note 2:** All units are production tested at  $TA = +25^{\circ}C$ . Specifications over temperature are guaranteed by design. All voltages of side A are referenced to  $GNDA$ ; all voltages of side B are referenced to  $GNDB$ , unless otherwise noted.

**Note 3:**  $\Delta V_{TOL} = V_{OL} - V_{IL}$ . This is the minimum difference between the output logic-low voltage and the input logic threshold for the same I/O pin. This ensures that the I/O channels are not latched low when any of the I/O inputs are driven low (see the *Bidirectional Channels* section).

**Note 4:** Guaranteed by design; not production tested.

# 6通道数字电平转换器

MAX14842

测试电路/时序图

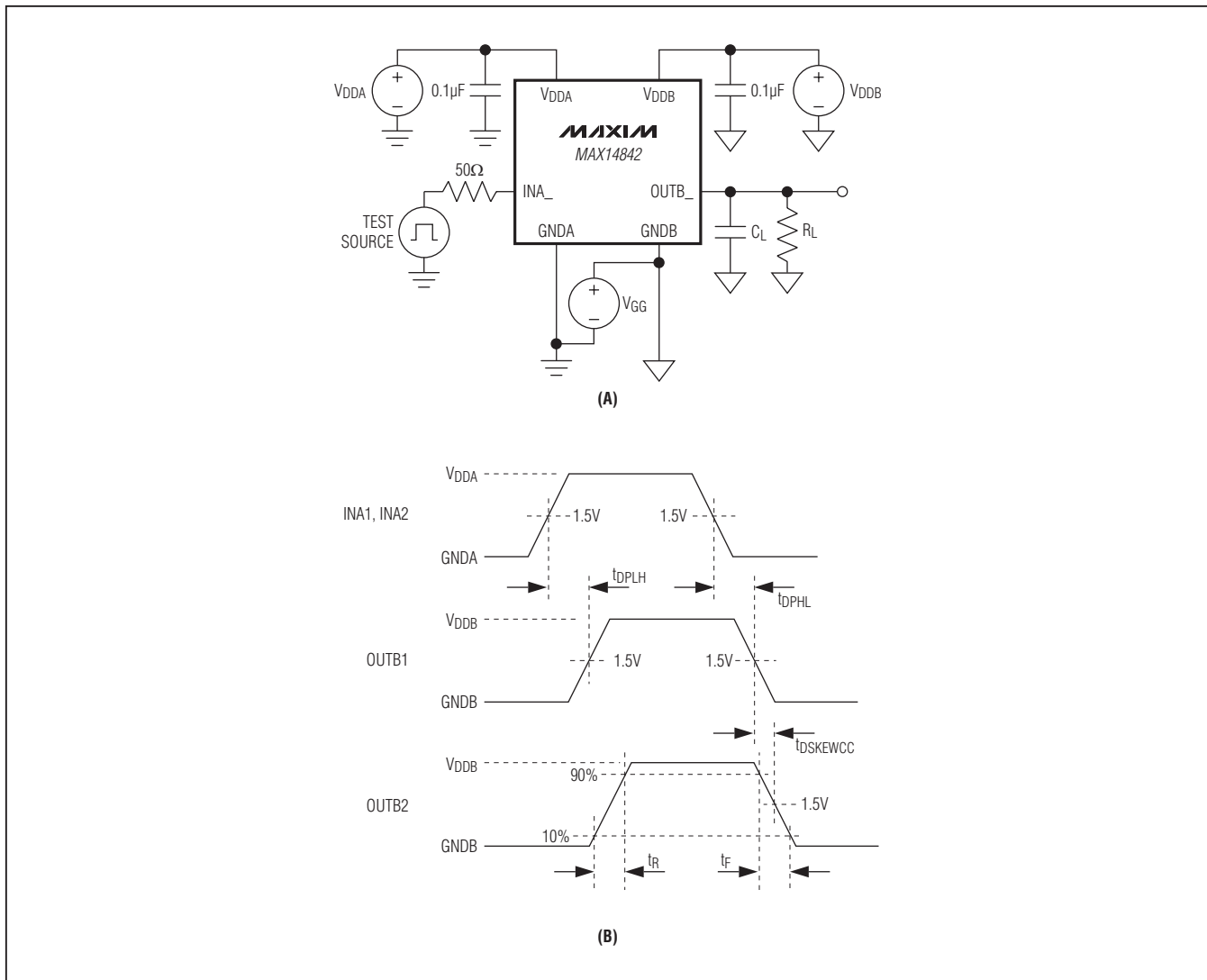


图1. 单向通道的测试电路(A)和时序图(B)

# 6通道数字电平转换器

MAX14842

测试电路/时序图(续)

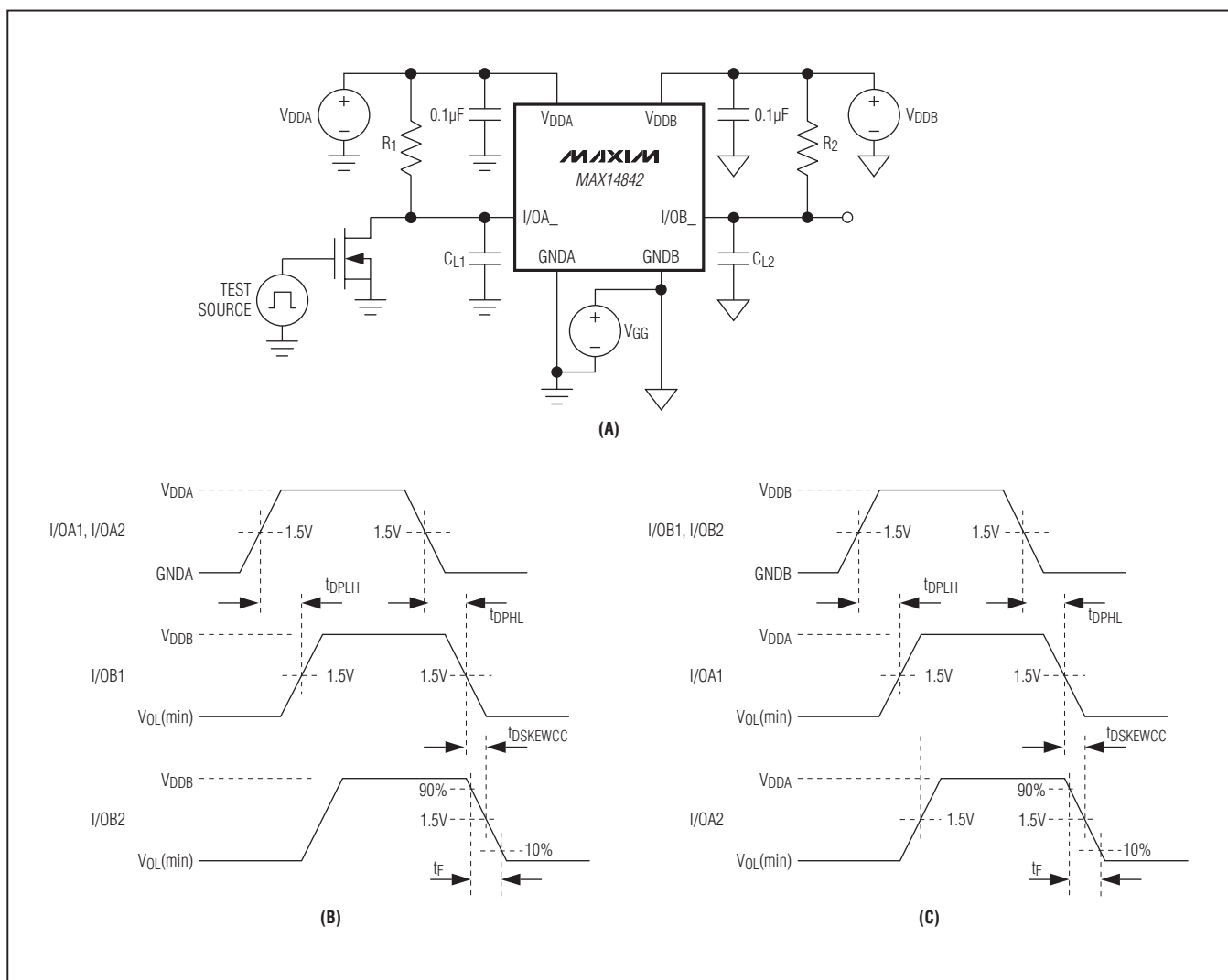
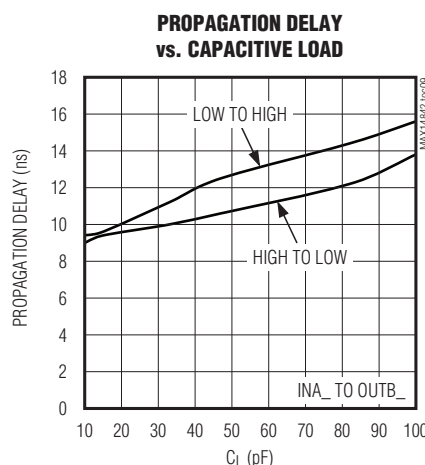
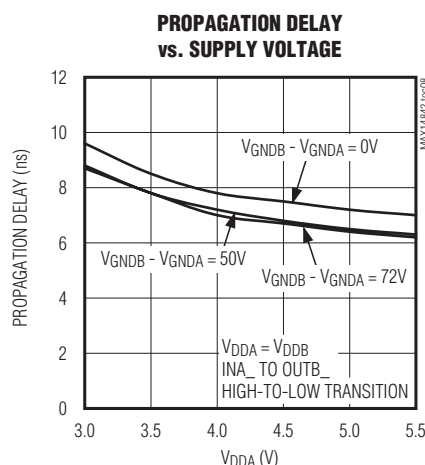
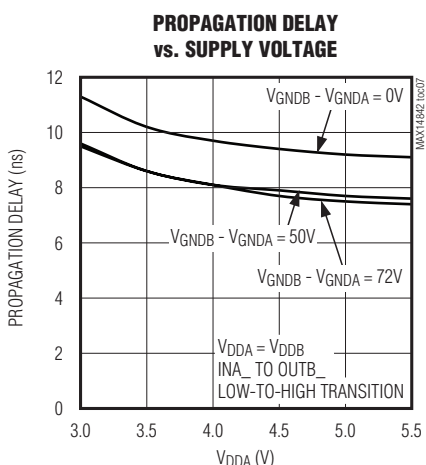
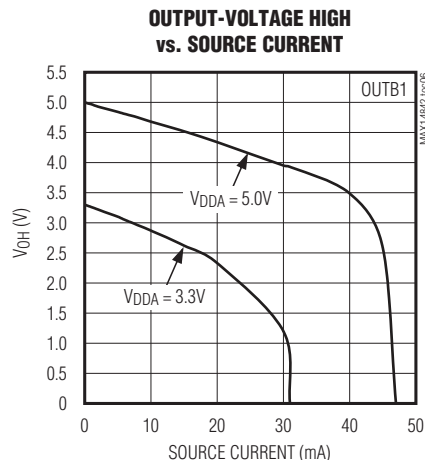
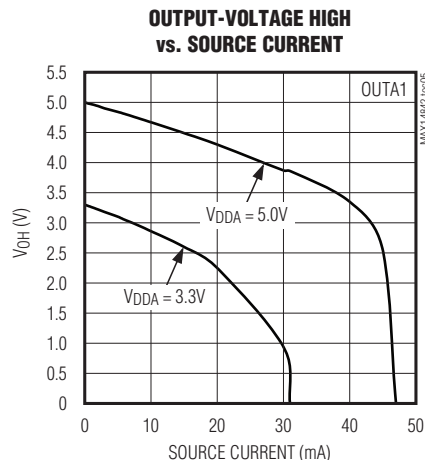
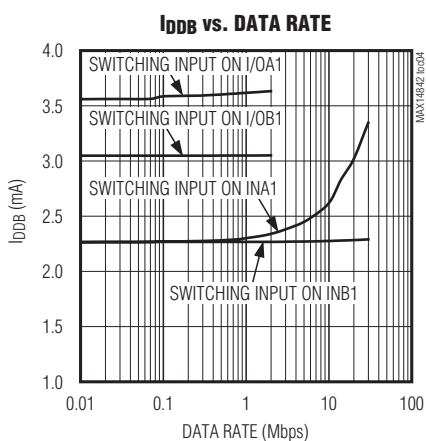
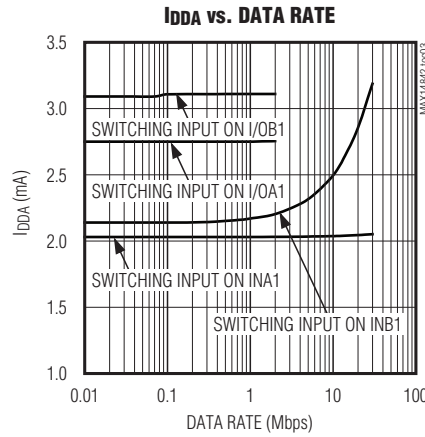
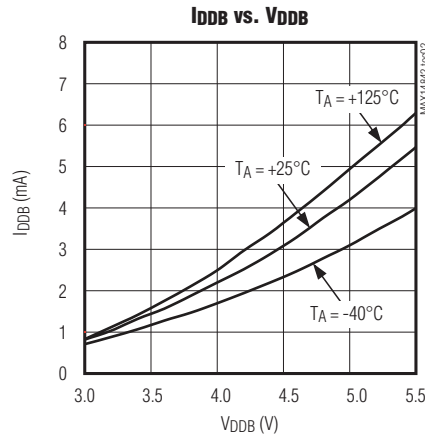
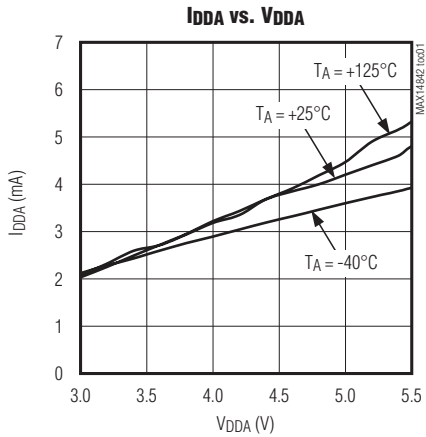


图2. 双向通道的测试电路(A)和时序图(B)及(C)

# 6通道数字电平转换器

MAX14842

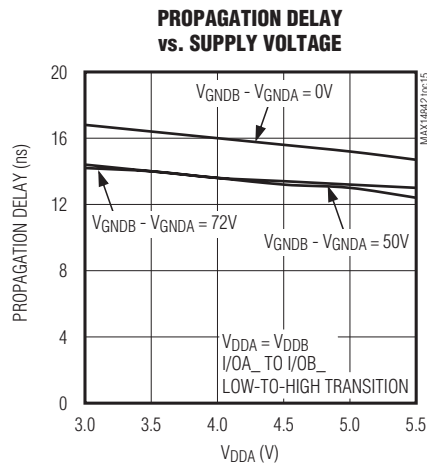
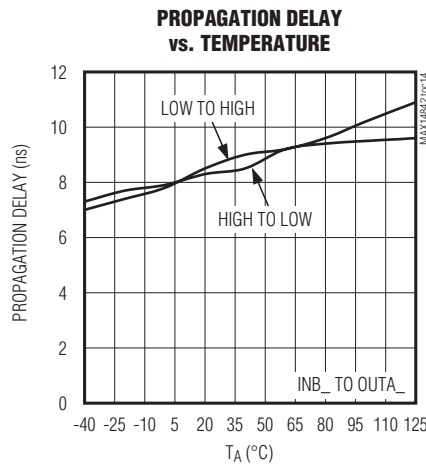
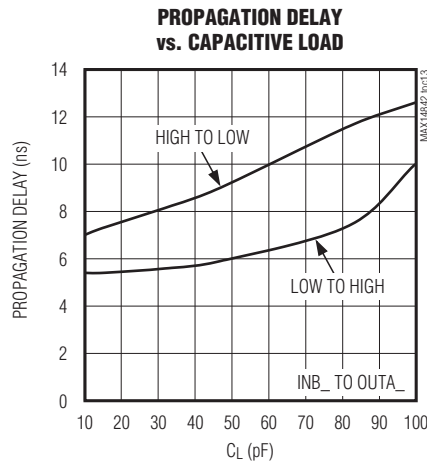
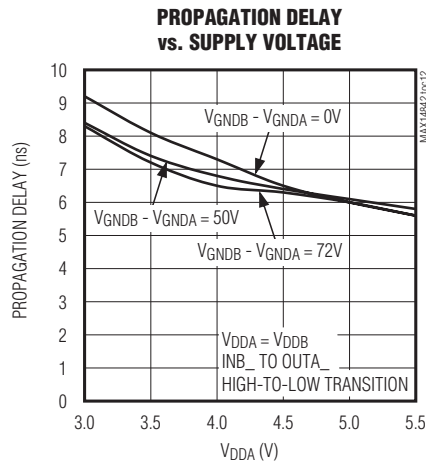
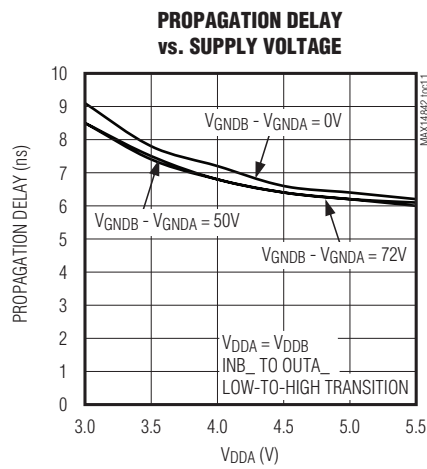
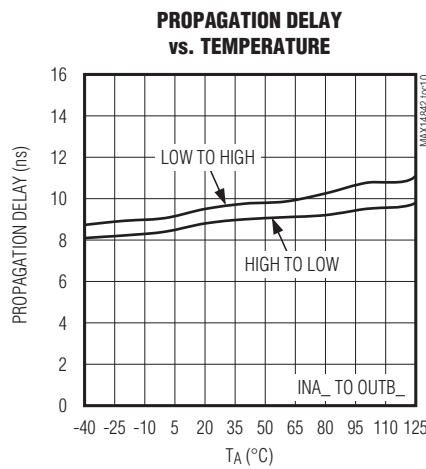
( $V_{DDA} - V_{GNDA} = +3.3V$ ,  $V_{DDB} - V_{GNDB} = +3.3V$ ,  $V_{GNDB} - V_{GNDA} = +50V$ ,  $R_{PUA} = R_{PUB} = 2k\Omega$ ,  $C_L = 15pF$ , see the *Typical Operating Circuit*,  $T_A = +25^\circ C$ , unless otherwise noted.)



# 6通道数字电平转换器

## 典型工作特性(续)

( $V_{DDA} - V_{GNDA} = +3.3V$ ,  $V_{DDB} - V_{GNDB} = +3.3V$ ,  $V_{GNDB} - V_{GNDA} = +50V$ ,  $R_{PUA} = R_{PUB} = 2k\Omega$ ,  $C_L = 15pF$ , see the *Typical Operating Circuit*,  $T_A = +25^\circ C$ , unless otherwise noted.)

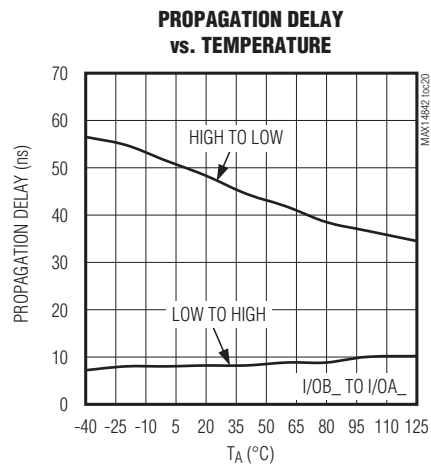
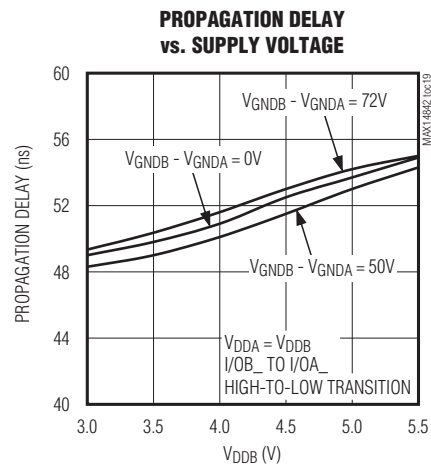
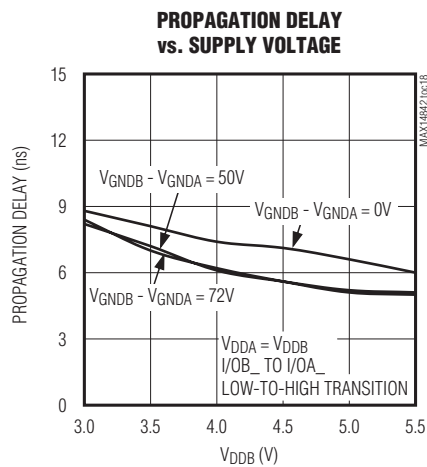
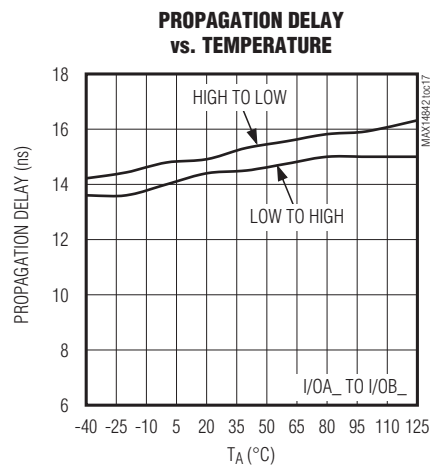
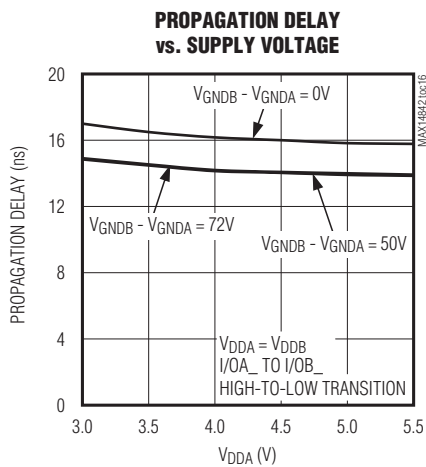


# 6通道数字电平转换器

MAX14842

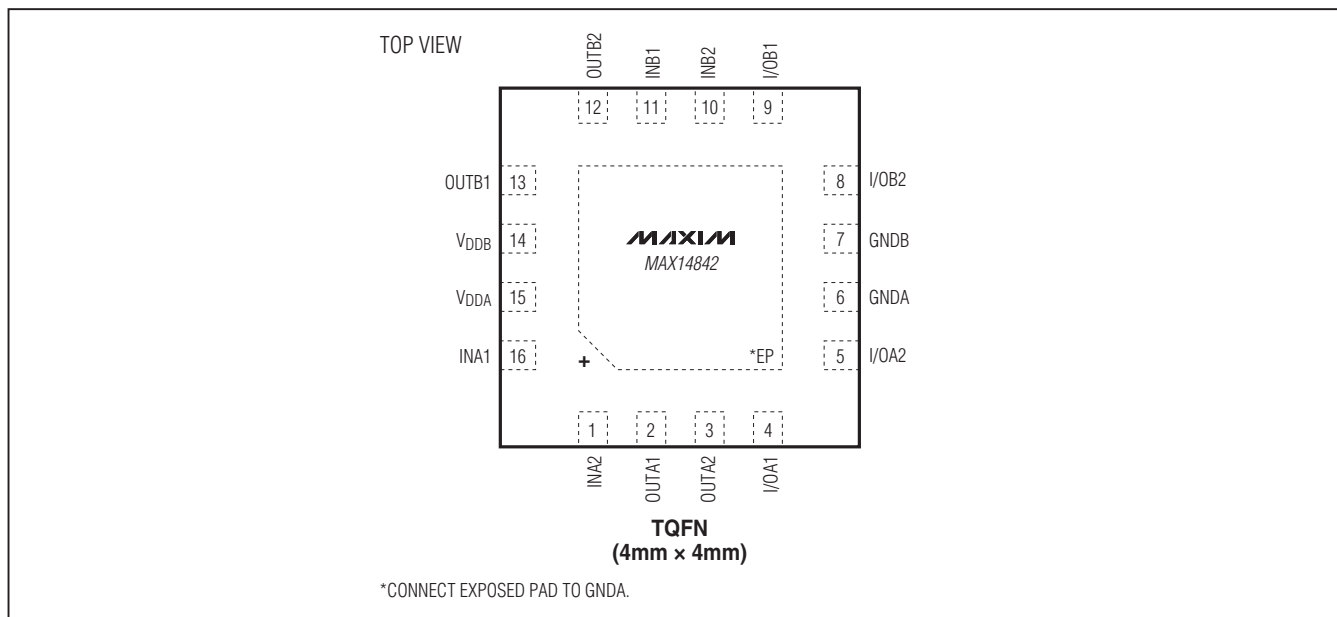
## 典型工作特性(续)

( $V_{DDA} - V_{GNDA} = +3.3V$ ,  $V_{DDB} - V_{GNDB} = +3.3V$ ,  $V_{GNDB} - V_{GNDA} = +50V$ ,  $R_{PUA} = R_{PUB} = 2k\Omega$ ,  $C_L = 15pF$ , see the *Typical Operating Circuit*,  $T_A = +25^\circ C$ , unless otherwise noted.)



# 6通道数字电平转换器

## 引脚配置

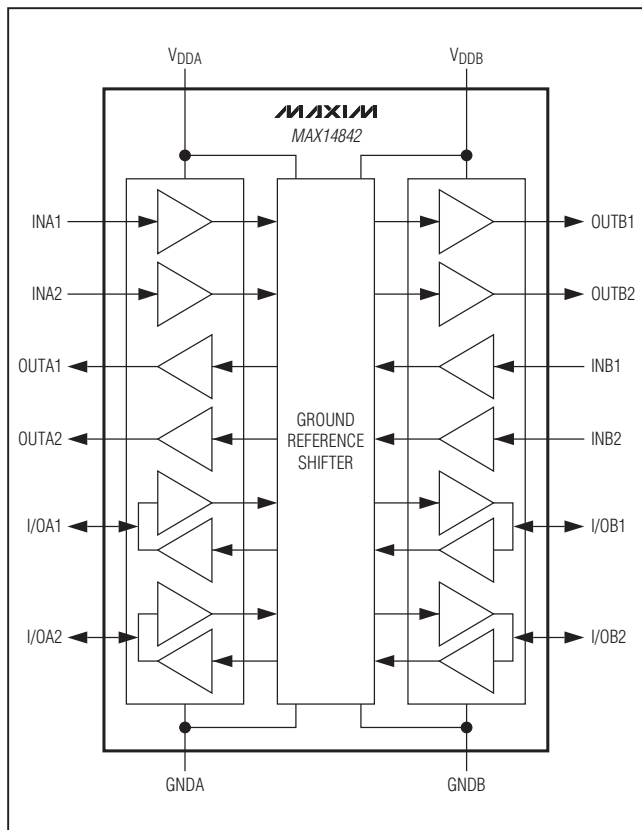


## 引脚说明

引脚	名称	功能	电压基准
1	INA2	A侧逻辑输入2, INA2转换至OUTB2。	GNDA
2	OUTA1	A侧逻辑输出1, OUTA1为推挽式输出。	GNDA
3	OUTA2	A侧逻辑输出2, OUTA2为推挽式输出。	GNDA
4	I/OA1	A侧双向输入/输出1, I/OA1转换至I/OB1或反方向转换, 为开漏输出。	GNDA
5	I/OA2	A侧双向输入/输出2, I/OA2转换至I/OB2或反方向转换, 为开漏输出。	GNDA
6	GNDA	A侧接地参考端, V <sub>GNDA</sub> 必须小于或等于V <sub>GNDB</sub> 。	—
7	GNDB	B侧接地参考端, V <sub>GNDB</sub> 必须大于或等于V <sub>GNDA</sub> 。	—
8	I/OB2	B侧双向输入/输出2, I/OB2转换至I/OA2或反方向转换, 为开漏输出。	GNDB
9	I/OB1	B侧双向输入/输出1, I/OB1转换至I/OA1或反方向转换, 为开漏输出。	GNDB
10	INB2	B侧逻辑输入2, INB2转换至OUTA2。	GNDB
11	INB1	B侧逻辑输入1, INB1转换至OUTA1。	GNDB
12	OUTB2	B侧逻辑输出2, OUTB2为推挽式输出。	GNDB
13	OUTB1	B侧逻辑输出1, OUTB1为推挽式输出。	GNDB
14	V <sub>DDB</sub>	B侧逻辑供电电压, 利用0.1μF陶瓷电容将V <sub>DDB</sub> 旁路至GNDB。	GNDB
15	V <sub>DDA</sub>	A侧逻辑供电电压, 利用0.1μF陶瓷电容将V <sub>DDA</sub> 旁路至GNDA。	GNDA
16	INA1	A侧逻辑输入1, INA1转换至OUTB1。	GNDA
—	EP	裸焊盘, 将EP连接至GNDA。	—

# 6通道数字电平转换器

功能框图



详细说明

MAX14842能够在地电位相差高达72V的系统之间进行地电平和逻辑电平转换。器件由VDDA和VDDB两个电源供电，分别设置每侧的逻辑电平。VDDA和VDDB分别以GNDA和GNDB为参考。MAX14842的四路单向通道均支持高达30Mbps数据率，两个双向通道可支持2Mbps数据率。

## 地电位转换/电平转换

为保证正常工作，须确保 $0V \leq (V_{GNDB} - V_{GNDA}) \leq 72V$ 。注意，GNDB必须大于或等于GNDA。

同时确保 $3.0V \leq (V_{DDA} - V_{GNDA}) \leq 5.5V$ 及 $3.0V \leq (V_{DDB} - V_{GNDB}) \leq 5.5V$ 。只要每路电压均在正常工作范围内， $(V_{DDA} - V_{GNDA})$ 可大于或小于 $(V_{DDB} - V_{GNDB})$ 。

## 单向通道

器件具有四个单向通道，每个通道可独立工作在高达30Mbps的数据率。每个单向通道采用推挽式输出驱动器，无需上拉电阻。驱动器也能够驱动TTL和CMOS逻辑输入。

## 双向通道

器件具有两路双向转换通道，采用开漏输出，双向通道无需方向控制输入。一侧的逻辑低电平将拉低另一侧的相应引脚，同时避免了器件的数据锁存。为防止双向通道闭锁，I/OA1和I/OA2输入的逻辑低电平门限( $V_{IL}$ )比I/OA1和I/OA2输出的逻辑低电平( $V_{OL}$ )至少低50mV，这样可以防止A侧的输出逻辑低电平被作为输入低电平而转换到B侧，反之亦然。

I/OA1、I/OA2、I/OB1和I/OB2引脚具有开漏输出，需要上拉电阻拉至对应的电源，以提供逻辑高电平输出。在确保输出低电平的前提下，B侧吸电流可达30mA，A侧吸电流可达10mA (参见Electrical Characteristics表)。

器件的双向通道支持I<sup>2</sup>C时钟扩展。

## 独立的地参考端

器件设计用于地电位隔离或地电位偏差较大的系统之间的逻辑信号转换。

## 启动和欠压锁定

器件内部监测VDDA和VDDB电源的欠压条件。上电、断电或正常工作期间的电源电压跌落都有可能产生欠压事件。当在任一侧电源检测到欠压故障时，无论输入状态如何，均将自动控制两侧的所有输出。双向输出变为高阻态，通过开漏输出的外部上拉电阻拉至高电平。欠压条件下，单向输出由内部拉至VDDA或VDDB电源电压。

# 6通道数字电平转换器

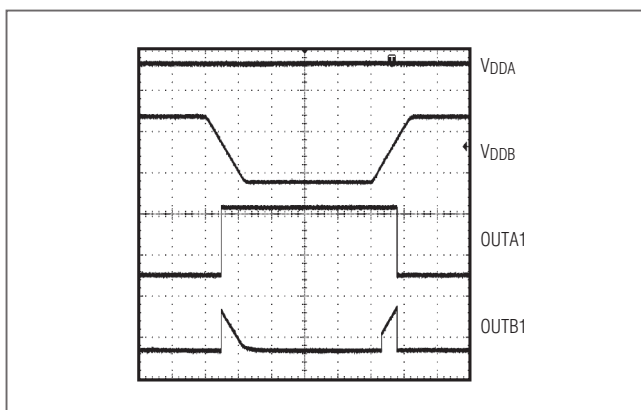


图3. 欠压锁定

图3所示为上电和断电期间的输出。

## 应用信息

### $V_{GG}$ 上的交流分量

地电位差 $V_{GG}$ 具有时变(交流)分量，需要对其幅度加以限制，以确保MAX14842工作在规定条件下。 $V_{GG}$ 上交流分量的最大允许幅度是频率的函数。

### 电源排序

MAX14842没有特定的供电顺序要求，每一侧的逻辑电平

由 $V_{DDA}$ 和 $V_{DDB}$ 分别设置。每路电源都允许保持在正常的供电状态，与另一侧电源是否供电以及供电电压的大小无关。

### 电源去耦

为降低电源纹波以及引起数据误码的几率，利用 $0.1\mu F$ 陶瓷电容分别将 $V_{DDA}$ 和 $V_{DDB}$ 旁路至 $GND_A$ 和 $GND_B$ ，旁路电容应尽量靠近电源输入引脚安装。

### 单向和双向电平转换

MAX14842可同时提供单向和双向信号传输，每个单向通道仅可用于功能框图所示方向，双向通道的信号传输无需方向控制。

## 芯片信息

PROCESS: BiCMOS

## 封装信息

如需最近的封装外形信息和焊盘布局(占位面积)，请查询[china.maxim-ic.com/packages](http://china.maxim-ic.com/packages)。请注意，封装编码中的“+”、“#”或“-”仅表示RoHS状态。封装图中可能包含不同的尾缀字符，但封装图只与封装有关，与RoHS状态无关。

封装类型	封装编码	外形编号	焊盘布局 编号
16 TQFN-EP	T1644+4	<a href="#">21-0139</a>	<a href="#">90-0070</a>

# 6通道数字电平转换器

## 修订历史

修订号	修订日期	说明	修改页
0	12/10	最初版本。	—
1	3/11	从定购信息中删除MAX14842ETE+，删除定购信息中MAX14842ATE+的未来产品状态，在特性、 <i>Absolute Maximum Ratings</i> 和 <i>Electrical Characteristics</i> 部分增加了汽车级温度范围。	1–4

MAX14842

## Maxim北京办事处

北京8328信箱 邮政编码100083

免费电话：800 810 0310

电话：010-6211 5199

传真：010-6211 5299

Maxim不对Maxim产品以外的任何电路使用负责，也不提供其专利许可。Maxim保留在任何时间、没有任何通报的前提下修改产品资料和规格的权利。

**Maxim Integrated Products, 120 San Gabriel Drive, Sunnyvale, CA 94086 408-737-7600** 13

© 2011 Maxim Integrated Products

Maxim是Maxim Integrated Products, Inc.的注册商标。